

九州工業大学 正会員 ○渡辺義則
“ 学生員 師井努

1. まえがき 道路交通騒音の予測には等間隔モデルなどの数学的モデルがよく利用されるが、次のような検討の余地が残されている。①対象道路の車頭間隔が特定の確率分布に従う必要があり、交通信号などの影響を受ける時や車群を構成して走行する時の道路交通流には適用できない。必然的に、交通信号を系統的に制御して騒音減少を計るなどの交通運用の方面からの対策を机上で検討できない。緩やかな制約条件のモデルが望まれる。②対象道路区間内の音源と受音点間の音の伝搬特性を適確に推定してモデルに組んでいない。伝搬特性は道路構造や道路周辺の環境で異なるが、これを適確に把握できるか否かは予測精度に重大な影響を及ぼす。交通を妨害せずに、隋意の時に、隋意の道路区間に伝搬特性を把握可能にし、併せて、その結果をモデルに直接反映できる計算手法の開発が望まれる。ここでは以上の2つの要件を具備する予測計算モデルを開発し、確立するためには①の要件に焦点を置いて若干の検討を行つたので報告する。

2. 予測計算モデルの構造 前提条件：①対象道路の線形及び構造条件は受音点から車線の中央線に下した垂線に関して対称②車輪は車線変更、追い越しをせず、一定の速度で定常走行③総断勾配は無視可能④車輪は点音源と仮定。モデルは線形系の座標に関する諸性質を利用したもので、基本的な考え方は既に報告した（以後、線形モデルと仮称）。ここでは推定精度の検討を利用して利用する線形モデルを示す。線形系では式①が成立する。 $y(t)$ は入力、 t は時間、 $x(t)$ は出力、 $g(t)$ は $y(t)$ に対する荷重関数である。いま、 $x(t)$ を車線の中央線上を移動する多数の音源によって時間 t に受音点に生じる音の強さに、 $y(t)$ を音源の音響出力の時間変化率に対応させる（式②）。式②で W は乗用車1台当たりの音響出力、 V は平均速度 (km/h)、 $X(t)$ は単位時間当たりの換算車輪台数（台/秒）。音が幾何学的に減衰する場合には荷重関数は式③で表わされる。 d は音源と受音点の最短距離。いま、式②、③を式①に代入して、フーリエ変換すれば式④となる。 ω は周波数。最後に $y(t)$ を逆フーリエ変換して受音点における音の強さの時間変動を求め、それを騒音レベルに換算する。

$$x(t) = \int_{-\infty}^t g(t) y(t-\lambda) d\lambda \quad \dots \text{①} \qquad y(t) = W X(t) = 10^{-12} \times 10^{(0.2V+85)/10} \times x(t) \quad \dots \text{②}$$

$$g(t) = 1 / [2\pi d^2 \{1 + (Vt/(3.6d))^2\}] \quad \dots \text{③} \qquad Z(\omega) = \frac{W X(\omega)}{2d(V/3.6)} \exp \left\{ - \frac{2\pi c d \omega}{(V/3.6)} \right\} \quad \dots \text{④}$$

3. 線形モデルの推定精度の検討 推定精度の検討は線形モデルの予測計算値と実測値を比較するが最も厳密であるが、本章では次の理由でモンテカルロ法を利用したシミュレーションの計算値と比較した。①現時点では対象道路区間の音の伝搬特性を適確に把握できない。従って、ここでは伝搬特性が既知の場合の線形モデルの予測精度の検討を行う。②シミュレーションでは推定精度に影響する要因を幅広く考えて検討可能である。

3.1 モンテカルロ法によるシミュレーション 2.の前提条件のもとで、できるだけ現実に近いモデルを考える。①車頭間隔の確率分布：指數分布モデルの適用条件は交通量 1000 V.P.H. 以下、同じく等間隔モデルは 1000 V.P.H. 以上である。従って、ここでは車頭間隔は交通量 1000 V.P.H. 以下では指數分布、同 1000 V.P.H. 以上では位相のアーラン分布に従うと考えた。②音響出力の確率分布： $N(\mu_0, \sigma_p^2)$ に従うと考える。ただし

$$\mu_0 = 0.2V + K \quad K: \text{大型車 } 97, \text{ 小型貨物 } 90, \text{ 乗用車 } 85 \quad \dots \text{⑤} \qquad \sigma_p^2 = (0.2V)^2 + \sigma_y^2 \quad \dots \text{⑥}$$

式⑥での σ_y^2 は車輪速度 V の分散、 σ_p^2 は速度に無関係な音響出力の変動（分散）。車種によって音響出力は異なる（式⑤）ので各車種の混入率（大型車 A_1 、小型貨物 A_2 、乗用車 A_3 、但し $A_1 + A_2 + A_3 = 1$ ）を与える。③計算区間：受音点の騒音レベルは片側 $S_{(m)}$ の区間内の車輪からの合成音と考える。式⑦で B は受音点から車線に下した垂線と車線の交点から最も近い車輪までの距離 (m)。以上、車頭間隔は指數またはアーラン型乱数、音響出力

は正規乱数、車種決定は一様乱数を発生させて所定の時間T秒毎の騒音レベルを計算した。

$$S = \sqrt{79.4 B^2 + 78.4 d^2}$$

…⑦

3.2 各種要因の変化と推定精度

精度の指標

として①線形モデルヒシミュレーションモデルの同時刻の騒音レベルの瞬時値の差に関する平均値 \bar{x} 及び標準偏差 σ_x ②L₅₀, L_{log}などの各種統計量に関する2両モデル間の差を用いた。図-1, 2に交通量1000 V.P.H.以下の場合の結果を示す。図中a), b)は単一車種で音響出力の変動がない場合の結果であり、車輪位置が近似に起因する誤差である。平均車頭間隔 S が異なっても \bar{x} , σ_x に差がないが、荷重関数の減衰形状の指標 $P (= \bar{v}/d)$ 及び時間Tによって \bar{x} , σ_x は変化する。

P やTが大きくなるほど程, \bar{x} , σ_x が大きくなり推定精度が低下する。このことは、荷重関数の減衰形状が同一ならば、Tが短い程車輪位置が直確に把握できるので誤差は減少し、また、減衰形状が急峻ならば車輪位置の少しのずれでも誤差は大きいといいう直感的事実に一致する。また、又が負であるので車輪位置が近似に起因する誤差によって線形モデルの計算値はシミュレーションモデルより大きい傾向にある。図中c)は混合車種で音響出力の変動がない場合の結果である。車種が混合することに起因する誤差の増大は極めて小さい。図中d), e)

は単一車種で P を変化させ音響出力を変動させた場合の結果である。音響出力の変動が大きくなるほど \bar{x} の値は大きくなり推定精度が低下する。また、 P の値が小さいと音響出力の変動が、大きいと車輪位置の近似が推定精度に影響を及ぼす主要因である。先程とは異って、音響出力の変動が大きくなるほど線形モデルの計算値はシミュレーションモデルより小さくなる傾向にある。図中f), g)* はいずれの車種

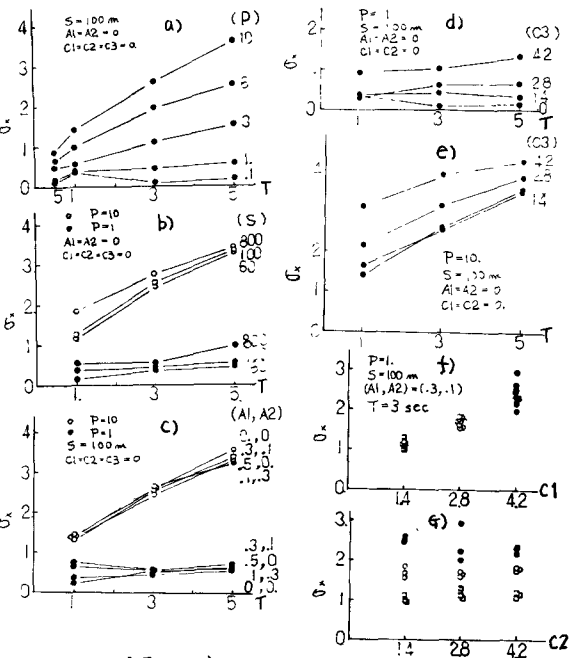


図1 各種要因の変化と推定精度 σ_x
(C1, C2, C3:大型, 小型, 混用の音響出力の分離)

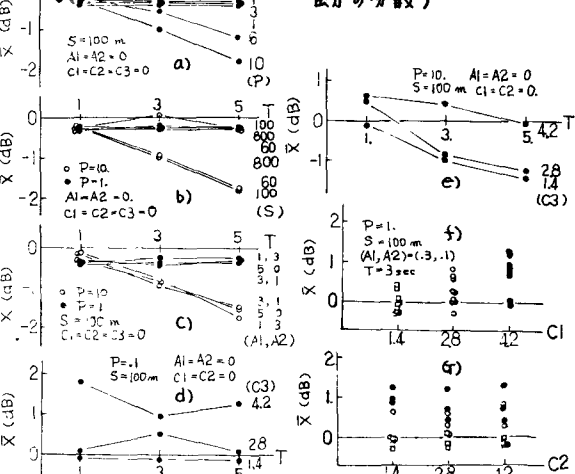


図2 各種要因の変化と推定精度 \bar{x}

の音響出力の変動が推定精度に影響するかを示す。大型車の音響出力の変動 C_1 に比例して推定精度は低下し、他車種のそれはあまり影響しない。従って、大型車の音響出力を正確に推定すれば精度の向上が期待できる。なお、L₅₀, L_{log}などの統計量並びに交通量/1000 V.P.H.以上について検討結果は割愛しておるが、これは研究発表会当日に報告する予定である。

*図中、□は $C_1=1.4$, ○は $C_1=2.8$, ●は $C_1=4.2$ の群をあわす

1) 渡辺：道路交通騒音の予測に関する一考察，第33回工学会年次学術講演概要集Ⅱ P223～224

2) 渡辺：道路交通騒音の伝搬特性推定方法に関する一考察，第34回工学会年次学術講演概要集Ⅱ P178～179

3) 渡辺：自動車走行時にあり騒音のパワー・レベル，日本音響学会誌32巻3号，P156～160, 1975